

## یادگیری تجمعی مبتنی بر تابع ضرر کانونی افزایشی (FENIL) برای غلبه بر نامتوازنی دسته‌ای

نسبیه محمودی<sup>1</sup>، حسین شیرازی<sup>2\*</sup>، محمد فخردانش<sup>3</sup>، کوروش داداش تبار<sup>4</sup>

تاریخ پذیرش: 1401/06/26

تاریخ دریافت: 1401/04/21

### چکیده

شبکه‌های عصبی کانولوشنال یکی از موفق‌ترین و پر استفاده‌ترین مدل‌های یادگیری ماشین در دسته‌بندی داده‌ها محسوب می‌شود اما به رغم موفقیت‌های چشمگیری که در دسته‌بندی داده‌ها دارند، در یادگیری نامتوازن، که یکی از چالش‌برانگیزترین مشکلات در یادگیری ماشین است، به نتایج قابل قبولی دست پیدا نمی‌کنند چرا که در این گونه مسائل، معمولاً تعداد نمونه‌های یکی از دسته‌ها خیلی بیشتر از نمونه‌های دسته دیگر است و یا هزینه دسته‌بندی اشتباه در دو دسته متفاوت است، این در حالی است که شبکه‌های CNN به صورت پیش‌فرض، توزیع دسته‌ها را متوازن و هزینه دسته‌بندی را مساوی در نظر می‌گیرند. یکی از روش‌های موفق در برخورد با مجموعه داده‌های نامتوازن، روش‌های تجمعی است. آنها با ترکیب تعدادی از تخمین‌گرهای پایه می‌توانند به دقت بالایی دست پیدا کنند و در مقایسه با زمانی که تنها از یک تخمین‌گر استفاده می‌شود، قابلیت اطمینان مدل را افزایش دهند. استفاده از یادگیری تجمعی، مدل‌های یادگیری ماشین را در مواجهه با داده‌های نامتوازن توانمند می‌سازند. در این پژوهش، روشی مبتنی بر یادگیری تجمعی برای شبکه‌های عصبی کانولوشنال معرفی شده است که از تجمع تعدادی شبکه CNN برای کار با داده‌های نامتوازن استفاده می‌کند. در این مدل از تابع ضرر کانونی برای آموزش CNNها استفاده شده است، پارامتر گاما در این تابع میزان اهمیت نمونه‌های سخت و آسان را مشخص می‌کند در مدل تجمعی پیشنهادی از پارامتر گاما برای ایجاد تنوع در CNNها استفاده شده است و این باعث شده است هر شبکه کانولوشنال نسبت به شبکه قبلی اهمیت کمتری به داده‌های آسان دهد. همچنین وزن داده‌ها برای آموزش هر شبکه با استفاده از نتیجه دسته‌بندی شبکه CNN قبلی مشخص می‌شود. در نهایت برای دسته بندی داده‌های جدید از ترکیب نتیجه همه CNNها استفاده می‌شود. شبکه تجمعی پیشنهادی (FENIL) بر روی چندین مجموعه داده اعمال شده است، براساس نتایج بدست آمده، شبکه FENIL نه تنها در مقایسه با روش‌های غیر عمیق مثل آداپوست با درخت تصمیم، دقت و F1-score بسیار بالاتری (18/63، 19/61 بالاتر) دارد، بلکه در مقایسه با روش‌های معمول عمیق دیگر مانند استفاده از یک CNN عمیق، رای گیری CNNها و CNNهای آبخاری و SMOTE نیز نتایج بهتری را بدست آورده است.

واژگان کلیدی: یادگیری نامتوازن، تابع ضرر کانونی، یادگیری تجمعی، یادگیری انتقالی

<sup>1</sup> دانشگاه مالک اشتر، دانشکده برق و کامپیوتر Mahmoodi.nm@mut.ac.ir

<sup>2</sup> دانشگاه مالک اشتر، دانشکده برق و کامپیوتر shirazi@mut.ac.ir (نویسنده مسئول)

<sup>3</sup> دانشگاه مالک اشتر، دانشکده برق و کامپیوتر fakhredanesh@mut.ac.ir

<sup>4</sup> دانشگاه مالک اشتر، دانشکده برق و کامپیوتر dashtabar@mut.ac.ir

## ۱. مقدمه

دادند که در سناریوهای دسته نامتوازن، طول مولفه گرادیان دسته اقلیت بسیار کمتر از مولفه گرادیان دسته اکثریت است. به عبارت دیگر، دسته اکثریت اساساً بر گرادیانی که وزن مدل را به روزرسانی می‌کند، تسلط دارد. این موضوع در تکرارهای اولیه خیلی سریع خطای گروه اکثریت را کاهش می‌دهد، اما اغلب خطای گروه اقلیت را افزایش می‌دهد و باعث می‌شود شبکه در یک حالت همگرایی کند گیر کند. این مشکل همچنان در شبکه‌های عمیق نیز وجود دارد، و محققان راهکارهای مختلفی برای مقابله با آن ارائه داده‌اند، راه حل‌ها برای برخورد با مساله نامتوازنی دسته‌ای در شبکه‌های عمیق، به سه دسته تقسیم می‌شوند:

1- راه حل‌های "مبتنی بر داده" [12] تلاش دارند با کم یا زیاد کردن نمونه‌های برخی از دسته‌ها (افزایش نمونه‌های دسته اقلیت و یا کم کردن نمونه دسته اکثریت)، بر نامتوازنی دسته‌ای غلبه کنند. از بین روش‌های مبتنی بر داده می‌توان به روش‌هایی مانند افزایش تصادفی داده‌های دسته اقلیت  $ROS^3$  [13]، کاهش تصادفی نمونه‌های دسته اکثریت  $RUS^4$  [14]، تکنیک افزایش نمونه مصنوعی دسته اقلیت  $SMOTE^5$  [15]، روش نمونه‌گیری پویا [16] که نرخ نمونه‌گیری را با توجه به عملکرد هر دسته تنظیم می‌کند و یادگیری دو فاز [17]، [18] اشاره کرد.

2- راه حل‌هایی که با تغییر در ساختار مدل، روند آموزش شبکه، تابع ضرر و یا تغییر دادن هزینه‌ها در یادگیری نامتوازن به دنبال رسیدن به نتایجی به نفع دسته اقلیت هستند به راه حل‌های "مبتنی بر الگوریتم" [12] شهرت دارند. برخلاف روش‌های داده‌ای، روش‌های الگوریتمی، داده‌های آموزشی را تغییر نمی‌دهند و به مراحل پیش پردازش نیاز ندارند. در مقایسه با  $ROS$ ، که پرفرمدارترین روش مبتنی بر داده است، روش‌های الگوریتمی کمتر بر زمان آموزش تأثیر می‌گذارند و به نظر می‌رسد که می‌توانند برای مسائل داده‌های عظیم بهتر باشند. به استثنای تعریف هزینه‌های دسته‌بندی اشتباه، روش‌های الگوریتمی به تنظیماتی کمتری نیاز دارند. از میان این روش‌ها

در یادگیری نامتوازن با مسائلی روبرو هستیم که دسته‌ها، احتمال پیشین متفاوت دارند، یعنی تعداد نمونه‌های آموزشی برای دسته‌ها به طور قابل توجهی متفاوت است. به دسته با نمونه‌های آموزشی کم، دسته اقلیت و به دسته با تعداد زیاد نمونه آموزشی دسته اکثریت گفته می‌شود. دسته‌بندی یا پیش‌بینی نامتوازن ممکن است هرجایی اتفاق بیفتد و به طورگسترده در مسائلی که الگوریتم‌های یادگیری ماشین بکار می‌روند، چه در کاربردهای زندگی واقعی و چه در تحلیل داده‌های علمی، وجود دارند، که می‌توان از این میان به تشخیص قلب [1]، شناسایی خطا [2, 3]، تشخیص ناهنجاری [4]، تشخیص پزشکی [5, 6]، تشخیص نشت نفت [7]، تشخیص بدافزار [8]، تحلیل رفتار [9] و غیره اشاره کرد. در الگوریتم‌های استاندارد، توزیع دسته‌ها متوازن و هزینه دسته‌بندی مساوی در نظر گرفته می‌شود، بنابراین مجموعه داده‌های نامتوازن می‌توانند کارایی الگوریتم‌های استاندارد یادگیری ماشین را به شدت تحت تأثیر قرار دهند و حتی با وجود اهمیت بیشتر، تا حد زیادی داده‌های اقلیت نادیده گرفته شوند و آموزش به سمت داده‌های دسته اکثریت تمایل پیدا کند [10]، فرض کنید در مجموعه داده تشخیص کوید 19 فقط 10 درصد مبتلا وجود داشته باشد، الگوریتمی که همه نمونه‌ها را سالم تشخیص دهد (دسته اکثریت) می‌تواند به دقت 90 درصد برسد در حالی که هیچ یک از مبتلایان تشخیص داده نشده‌اند، این مثال ضرورت ارائه راهکارها و معیارهای کارایی مناسب برای مواجهه با نامتوازنی دسته‌ای را به خوبی نشان می‌دهد و به همین دلیل یادگیری نامتوازن بسیار مورد توجه محققان و پژوهشگران هوش مصنوعی قرار گرفته است. شبکه‌های عصبی کانولوشنال، به عنوان یکی از شاخه‌های موفق یادگیری ماشین، که در سال‌های اخیر، پیشرفت‌های چشمگیری در زمینه‌های گوناگون داشته‌اند، مشکلات اجداد خود یعنی شبکه‌های عصبی سنتی در برخورد با داده‌های نامتوازن را به ارث برده‌اند. آناند و همکاران [11] که تأثیرات نامتوازنی دسته‌ای در الگوریتم انتشار رو به عقب<sup>2</sup> در شبکه‌های عصبی را بررسی کردند، نشان

<sup>4</sup> Random under sampling

<sup>5</sup> Synthetic Minority Over-sampling Technique

<sup>2</sup> backpropagation

<sup>3</sup> Random over sampling

2 به بررسی راهکارهای مبتنی بر یادگیری تجمعی برای نامتوازنی دسته‌های در شبکه‌های یادگیری عمیق می‌پردازیم.

در این پژوهش برای مسائل یادگیری نامتوازن، شبکه تجمعی از CNNها به نام FENIL<sup>10</sup> با تابع‌های ضرر کانونی متنوع از نظر مقادیر مختلف  $\gamma$  پیشنهاد شده است، در [20] گروه تحقیقاتی فیس‌بوک (FAIR) تابع ضرر کانونی برای شبکه تشخیص دهنده اشیا خود پیشنهاد دادند که در مقایسه با تابع ضرر آنتروپی متقابل استاندارد، توجه بیشتری به داده‌های سخت می‌کند، که این میزان توجه (جریمه‌ای که برای داده‌های سخت و آسان محاسبه می‌کند) بستگی به پارامتر  $\gamma$  دارد و یک چالش تعیین میزان مناسب  $\gamma$  در مسائل مختلف است.

در شبکه پیشنهادی FENIL دنباله‌ای از گام‌ها تولید می‌شود ( $\gamma_0, \gamma_1, \dots, \gamma_n$ )، برای تابع ضرر شبکه  $\mathcal{L}$ ، گام‌های  $\mathcal{L}$  را در نظر گرفته می‌شود. CNNها به ترتیب اندیس آموزش می‌یابند و آموزش در هر CNN، تمرکز بیشتری روی نتایج اشتباه CNN قبلی می‌کند. برای این کار از تکنیک آدابوست به عنوان یک روش تجمعی تکرارشونده، استفاده شده است و هر CNN را به عنوان یک تخمین‌گر پایه در نظر گرفته شده است. شبکه پیشنهادی FENIL روی چند مجموعه داده‌های نامتوازن مرجع<sup>11</sup> آموزش داده شده است و نتایج بدست آمده، با تکنیک‌های مختلف مقابله با نامتوازنی دسته‌ای مقایسه شده است (جزئیات پیاده‌سازی و تحلیل نتایج در بخش 5 آورده شده است). نتایج، کارایی سیستم تجمعی پیشنهادی را نشان می‌دهد. شبکه تجمعی FENIL در برخورد با داده نامتوازن توانایی‌های جدید زیر را دارد:

1- استفاده از تابع ضرر کانونی افزایشی، این مزیت باعث می‌شود شبکه‌های مختلف با  $\gamma$ های مختلف آموزش ببینند و دسته‌بند نهایی از ترکیب نظر همه دسته‌بندها برای نتیجه نهایی استفاده کند. به این ترتیب هم از مزیت آموزشی داده‌های اکثریت بهره برده می‌شود و هم شبکه‌هایی خواهیم داشت که تمرکز

می‌توان به میانگین خطای اشتباه (MFE) و میانگین مربع خطای اشتباه (MSFE) [19]، تابع ضرر کانونی<sup>6</sup> [20] و روش‌های حساس به هزینه [21] اشاره کرد

3- روش‌های ترکیبی که از هر دو روش مبتنی بر داده و مبتنی بر الگوریتم برای مقابله با نامتوازنی داده استفاده می‌کنند [22-24].

دسته‌بندهای تجمعی<sup>7</sup>، که به نام سیستم‌های دسته‌بندهای چندگانه هم شناخته شده است، عملکرد یک دسته‌بند واحد را با ترکیب چندین دسته‌بند پایه بهبود می‌بخشد. کارایی بالای دسته‌بندهای تجمعی، آنها را به یک راه‌حل محبوب برای یادگیری نامتوازن تبدیل کرده است [25, 26]. یادگیری نامتوازن تجمعی نوعی از روش‌های ترکیبی هستند که با تغییر در داده‌ها و الگوریتم‌ها سعی در غلبه بر نامتوازنی دسته‌ای دارند. گوا و همکارانش در [25] حدود 527 مقاله را در رابطه با یادگیری نامتوازن بررسی کردند که 218 مقاله درباره ارائه مدل‌های جدید تجمعی با استفاده از مدل‌های موجود برای حل عملی مسائل بوده است. آنها راه‌حل‌های تجمعی را به دو دسته روش‌های تجمعی تکرارشونده (مانند بوستینگ) و روش‌های تجمعی موازی (مانند بگینگ) تقسیم کرده‌اند. در [27] انواع روش‌های بوستینگ و بگینگ و ترکیب آنها در برخورد با نامتوازنی داده بررسی شده‌اند. از روش‌های تجمعی تکرار شونده که برای حل نامتوازنی دسته‌ای استفاده می‌شود می‌توان به درخت تصمیم براساس گرادیان بوستینگ<sup>8</sup> (GBDT) [28]، آدابوست [29] و الگوریتم‌های تجمعی مبتنی بر الگوریتم تکاملی<sup>9</sup> (EA) [30] اشاره کرد. بوستینگ رایج‌ترین مجموعه از روش‌های یادگیری تجمعی است، که با ترکیب دسته‌بندهای ضعیف یک دسته‌بند قوی می‌سازد [31]. به این صورت که هر دسته تلاش می‌کند خطای دسته‌بند قبلی را کاهش دهد.

شبکه‌های عمیق عصبی دارای معماری‌های متنوع و پارامترهای فوق العاده زیادی هستند که باعث می‌شود یک نامزد خوب برای ایجاد مجموعه متنوع از یادگیرنده‌ها باشند. در بخش

<sup>10</sup> Incremental Focal Ensemble method for multi-class Imbalanced Learning

<sup>11</sup> Benchmark

<sup>6</sup> Focal loss

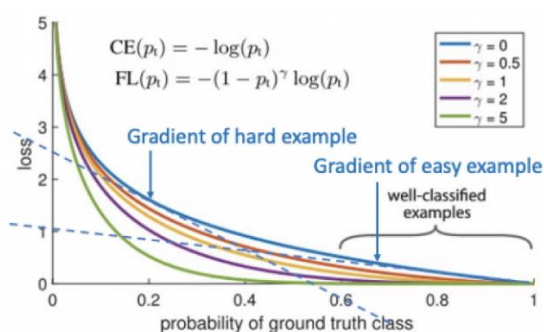
<sup>7</sup> Ensemble

<sup>8</sup> Gradient Boosting Decision Tree

<sup>9</sup> Evolutionary algorithm

راحتی دسته‌بندی شده‌اند، بر روی تابع ضرر را کاهش دهند. این ایده با ضرب تابع ضرر  $CE$  در یک عامل تعدیل کننده،  $\alpha_t(1 - p_t)^\gamma$  حاصل می‌شود، هاپیرپارامتر  $\gamma \geq 0$  میزان کم وزنی مثال‌های آسان را تنظیم می‌کند و  $\alpha_t \geq 0$  وزنی دسته‌ای است که برای افزایش اهمیت دسته اقلیت استفاده می‌شود. در شکل 1 تاثیر مقادیر مختلف  $\gamma$  در تابع ضرر کانونی نشان داده شده‌است، با افزایش گاما، در واقع جریمه تولید شده برای داده‌های آسان را کم می‌شود و این باعث کاهش سهم داده‌های آسان در بروز رسانی وزن‌های شبکه  $CNN$  می‌شود.

$$FL(p_t) = -\alpha_t(1 - p_t)^\gamma \log(p_t) \quad (8)$$



شکل 1- تابع ضرر کانونی برای پیشبینی دسته، با گام‌های مختلف

نسخه چند دسته‌ای و افزایشی این تابع را که در 1-4 درباره آن توضیح داده شده‌است، برای آموزش شبکه‌های  $CNN$  در  $FENIL$  استفاده شده است.

### 3. کارهای انجام شده

شبکه‌های عصبی عمیق دارای معماری‌های متنوع و پارامترهای فوق العاده زیادی هستند که باعث می‌شود یک نامزد خوب برای ایجاد مجموعه متنوع از یادگیرنده‌ها (با تنظیم و ترکیب معماری‌های مختلف، تزریق نویز و یا بکاربردن چارچوب آدابوست و ...) در یادگیری جمعی باشند. برای مثال بهترین نتایج یادگیری عمیق در رقابت  $ILSVRC^{16}$  در سال 2015 روی دیتاست  $ImageNet$  براساس یادگیری جمعی بنا شده بودند [33]. و یا در [34] از  $CNN$ های مختلفی استفاده

بیشتری را روی داده‌های دسته اقلیت دارند و در نهایت همه این شبکه‌ها در دسته‌بندی داده‌های تست مشارکت می‌کنند.

2- استفاده از تغییر بایاس لایه آخر در اولین  $CNN$ ، ما با تغییر بایاس آخرین لایه در اولین  $CNN$ ، دسته‌بندی‌های اشتباه  $CNN$  در دسته اقلیت را افزایش می‌دهیم و این موجب می‌شود حجم بیشتری از داده‌های کلاس اقلیت و با وزن بیشتری به دسته‌بند بعدی انتقال پیدا کند.

3- استفاده از یادگیری انتقالی برای افزایش سرعت، از آنجا که هر  $CNN$  برای آموزش به داده‌های زیادی نیاز دارد، و زمان زیادی نیز برای آموزش صرف می‌کند، برای افزایش کارایی، هر  $CNN$  در زمان شروع آموزش، از  $CNN$  از پیش آموزش دیده<sup>12</sup> قبلی استفاده می‌کند و روی داده‌های وزن دار جدید دوباره تنظیم<sup>13</sup> می‌شود.

4- در شبکه  $FENIL$  روش  $SAMME.R$  که یک تکنیک آدابوست چنددسته‌ای است و در [32] معرفی شده است، برای وزن دهی به نمونه‌های مجموعه داده که در دسته‌بند قبلی به درستی دسته‌بندی نشده‌اند و سپس ترکیب نتایج  $CNN$  استفاده شده است.

در ادامه در بخش 2 تابع ضرر کانونی شرح داده می‌شود، در بخش 3 به بررسی کارهای انجام شده در زمینه یادگیری عمیق جمعی می‌پردازیم. در بخش 4 معیارهای سنجش کارایی در یادگیری متوازن را بررسی خواهیم کرد، در بخش 5 جزئیات راه کار پیشنهادی ارائه می‌شود و در نهایت در بخش 6 به جزئیات پیاده‌سازی و تحلیل نتایج خواهیم پرداخت و در انتها در بخش 7 جمع‌بندی قرار گرفته‌است.

### 2. تابع ضرر کانونی

برای غلبه بر عدم توازن شدید بین دسته پیش‌زمینه و پس-زمینه (اشیا) در شناسایی اشیا، لین و همکاران [20] تابع ضرر کانونی<sup>14</sup> را معرفی کردند، آنها تابع ضرر آنتروپی متقابل<sup>15</sup> ( $CE$ ) را دوباره بازنویسی کردند به طوری که تأثیر نمونه‌هایی که به

<sup>16</sup> ImageNet Large Scale Visual Recognition Competition

<sup>12</sup> Pre-trained

<sup>13</sup> fine tune

<sup>14</sup> Focal loss

<sup>15</sup> Cross Entropy Loss Function

جریمه می‌شود. در [43] یک شبکه عصبی تجمعی ارائه شده است که با استفاده از روش باز نمونه‌برداری<sup>18</sup> (بوت استرپت<sup>19</sup>) در کنار گروهی از شبکه‌های عصبی مشکل کمبود رویدادها را بهبود داده‌است. آنها از مجموعه بزرگی از ویدیوهای فوتبالی با هدف شناسایی اتفاق کرنر استفاده کردند.

در این پژوهش برای ساخت شبکه FENIL از دنباله‌ای از CNNها استفاده شده‌است که در آن میزان اهمیت ورودی‌های هر شبکه و تابع ضرر هر شبکه متفاوت است، میزان اهمیت ورودی‌های هر شبکه براساس الگوریتم آدابوست پیشنهادی SAMME.R در [32] محاسبه شده‌است. در SAMME.R از درخت تصمیم برای تخمین‌گر پایه استفاده می‌شود اما در این پژوهش از CNN با تابع ضرر کانونی متفاوت به عنوان تخمین‌گر پایه استفاده شده است که باعث افزایش کارایی زیادی در نتایج داده‌های مصنوعی شده‌است (دقت 18/63 بالاتر و 61 F-score بالاتر).

#### 4. معیارهای ارزیابی برای داده‌های نامتوازن

ماتریس درهم‌ریختگی<sup>20</sup> که در جدول (1) نشان داده شده - است، نتایج یک دسته‌بندی دودویی را نمایش می‌دهد. TP تعداد نمونه‌هایی هستند که به درستی در دسته مثبت دسته‌بندی شده اند و TN تعداد نمونه‌هایی هستند که به درستی در دسته منفی دسته‌بندی شده‌اند، FN و FP به ترتیب تعداد نمونه‌هایی است که به طور اشتباه در دسته مثبت و منفی دسته‌بندی شده‌اند.

ماتریس درهم‌ریختگی

	واقعی منفی (0)	واقعی مثبت (1)
دسته بندی شده مثبت (1)	مثبت نادرست (FPs)	مثبت درست (TPs)
دسته بندی شده منفی (0)	منفی درست (TNs)	منفی نادرست (FNs)

جدول 1- ماتریس درهم‌ریختگی

همه معیارهایی که در ادامه آمده‌است از ماتریس درهم‌ریختگی بدست آمده‌است. معیار دقت و خطا (رابطه 1) یک

شده بود که ورودی‌های هریک از آنها به روش‌های مختلفی پیش پردازش شده بودند، سپس از میانگین پیش‌بینی همه آنها استفاده شده بود. این روش جزو اولین روش‌هایی بود که توانست در مجموعه داده MNIST به دقتی نزدیک به دقت انسان دست پیدا کند. با توجه به موفقیت‌های مدل‌های عمیق تجمعی و موفقیت‌های پیشین یادگیری تجمعی در مقابله با نامتوازنی دسته‌ای، استفاده از یادگیری عمیق تجمعی برای مقابله با نامتوازنی دسته‌ای مورد توجه محققان در حوزه یادگیری ماشین قرار گرفته‌است [35-37]. در ادامه به بررسی برخی از این روش‌ها می‌پردازیم.

هانگ و همکارانش در [38] از ترکیب چند CNN و آموزش همزمان آنها، برای غلبه بر نامتوازنی دسته‌ای استفاده کرده‌است. آنها از روش‌های مبتنی بر خوشه‌بندی برای انتخاب نمونه‌های درون یک بسته<sup>17</sup> استفاده کرده‌اند و سپس CNNها را بوسیله این بسته‌های کوچک آموزش داده‌اند. آنها ابتدا دسته‌های اکثریت و اقلیت را به طور جداگانه خوشه‌بندی می‌کنند و سپس پنج تایی نمونه‌ها را در بسته‌های کوچک به طوری قرار می‌دهند که تعداد دسته اکثریت و اقلیت در آنها مساوی باشد. ایجینا و همکارانش [39] روش تجمعی برای تشخیص فعالیت انسان در ویدئو ارائه دادند، آنها از ماکسیم نتایج دسته‌بندها به عنوان نتیجه نهایی استفاده کردند. لیکسیرگ و همکارانش در [40] برای تقسیم بندی حجمی دقیق تومور در تصاویر ام‌آر‌آی از یادگیری تجمعی استفاده کردند.

تاجبخش و همکارانش [41] سیستم تشخیص پولیپ را پیشنهاد دادند، هریک از CNNها در سیستم تجمعی یکی از ویژگی‌های پولیپ (رنگ، بافت و شکل ظاهری) را تشخیص می‌دهد. زی و همکارانش [42] سه روش تجمعی بر اساس شبکه‌های عصبی عمیق پیشنهاد کردند که دنباله‌هایی از دسته - بندها را باهم ترکیب می‌کند به طوری که ورودی‌هایشان بازنمایی از لایه‌های ژانگ و همکارانش [92] تجمعی از DNNها را ارائه دادند که به طور متفاوت وزن دهی اولیه می‌شود و اختلاف بین خروجی هریک از آنها با میانگین خروجی‌ها،

<sup>19</sup> bootstrapped

<sup>20</sup> confusion matrix

<sup>17</sup> batch

<sup>18</sup> sampelling method

می‌گوییم، معیار دقت در این حالت اطلاعات مناسبی را درباره کارایی دسته‌بند با توجه به نوع دسته‌بندی ارائه نمی‌دهد.

$$Accuracy = \frac{TP + TN}{TP + FP + TN + FN} \quad (1)$$

$$error\ rate = 1 - Accuracy$$

با داده‌های نامتوازن، هنگامی که معیارهای ارزیابی به توزیع داده‌ها حساس هستند، تجزیه و تحلیل نسبی مشکل می‌شود. به جای دقت، دیگر معیارهای ارزیابی که معمولا اتخاذ می‌شوند عبارت است از: صحت<sup>21</sup>، بازخوانی<sup>22</sup> و **F1- f-measure** (score) که به صورت زیر تعریف می‌شوند:

صورت تقسیم عنصر  $CM_{i,i}$  بر مجموع عناصر ستون  $i$  ام تعریف می‌شود (رابطه 6) و **precision** (صحت دسته  $i$ ام) به صورت تقسیم عنصر  $CM_{i,i}$  بر مجموع عناصر سطر  $i$  ام تعریف می‌شود. معیار **F-Measure** برای تک تک دسته‌ها به صورت جداگانه محاسبه می‌شود. معیار دیگر **Balanced accuracy** یا دقت متوازن شده است که به طور گسترده از آن در یادگیری نامتوازن برای بررسی کارایی دسته‌بندها استفاده می‌شود، این رابطه در واقع میانگین دقت هر یک از دسته‌ها و از آنجا که مجموع ستون  $i$  ام ماتریس درهم‌ریختگی برابر با تعداد نمونه‌های دسته  $i$  ام است می‌توان دقت متوازن شده را به صورت میانگین **recall** دسته‌ها بیان کرد، در این مقاله برای مقایسه کارایی روش پیشنهادی از معیارهای صحت، بازخوانی و **F1- F1-score** (score) به این معنی است که  $\beta$  یک در نظر گرفته شده است) و **Balanced accuracy** استفاده شده است. در رابطه (5) و (6)  $CM$  نشان‌دهنده ماتریس درهم‌ریختگی است و در رابطه (7)،  $C$  برابر تعداد دسته‌ها و  $acc_i$  برابر دقت دسته‌بند در هر دسته است.

$$precision_i = \frac{CM_{i,i}}{\sum_j CM_{i,j}} \quad (5)$$

$$recall_i = \frac{CM_{i,i}}{\sum_j CM_{j,i}} \quad (6)$$

$$balanced\ accuracy = \frac{\sum_i acc_i}{c}, \quad (7)$$

$$acc_i = recall_i$$

روش ساده برای بیان کارایی دسته‌بند روی مجموعه داده‌ها را بیان می‌کند اما همانطور که در مثال بعدی بیان می‌شود، در شرایط خاص می‌تواند فریب‌دهنده باشد و نسبت به تغییر در داده‌ها بسیار حساس است. در ساده‌ترین حالت، اگر ترکیب مجموعه داده‌ها، 5 درصد دسته اقلیت و 95 درصد دسته اکثریت باشد، یک راهکار ساده‌ای که همه نمونه‌ها را در دسته اکثریت دسته‌بندی می‌کند، می‌تواند دقت 95 درصد را بدست آورد. در ظاهر دقت 95 درصد روی کل داده‌ها عالی به نظر می‌رسد، با این حال نمی‌تواند منعکس‌کننده این حقیقت باشد که 0 درصد از نمونه‌های دسته اقلیت شناسایی شده‌اند. به این دلیل است که

$$precision = \frac{TP}{TP+FP} \quad (2)$$

$$recall = \frac{TP}{TP+FN} \quad (3)$$

$$f - measure = \frac{(1+\beta^2) \times precision \times recall}{\beta^2 precision + recall} \quad (4)$$

در رابطه (4) ضریبی است که برای تنظیم اهمیت دقت نسبت به بازخوانی (معمولا یک است) بکار برده می‌شود. صحت، میزان دقیق بودن است ( برای مثال نمونه‌هایی که برچسب مثبت خورده‌اند تا چه حد درست برچسب گذاری شده‌اند) درحالی که بازخوانی معیار کامل بودن است (برای مثال، چه تعداد از نمونه‌های دسته مثبت درست برچسب گذاری شده‌اند). برعکس دقت و نرخ خطا که هر دو به توزیع مجموعه داده حساس بودند، صحت و بازخوانی هر دو به توزیع حساس نیستند. یک بررسی ساده روی رابطه‌های 2 و 3 نشان می‌دهد، صحت به توزیع دسته حساس است اما بازخوانی نه. با این حال در صورتی که به درستی استفاده شود، صحت و بازخوانی می‌تواند به صورت کارا، کارایی دسته‌بند را در روند یادگیری نامتوازن ارزیابی کند. به خصوص معیار **F-Measure** (که با **F-score** شناخته می‌شود) با در نظر گرفتن نسبت اهمیت بازخوانی به صحت که توسط کاربر مشخص می‌شود، صحت و بازخوانی را ترکیب می‌کند. **F-Measure** درک عمیق تری از کارایی دسته‌بند نسبت به معیار صحت ارائه می‌کند، در مواردی که با به جای مسئله دو کلاسه با مساله چند کلاسه روبرو هستیم، اگر ماتریس درهم‌ریختگی را  $CM$  بنامیم برای کلاس  $i$  ام  $recall_i$  (بازخوانی دسته  $i$ ام) به

<sup>22</sup> recall

<sup>21</sup> precision

## 5. روش پیشنهادی FENIL

در شبکه تجمعی پیشنهادی FENIL، دنباله‌ای از شبکه‌های کانولووشنال قرار گرفته‌است که هر شبکه در ساختار تجمعی با اندیس  $i$  مشخص می‌شود، این شبکه‌ها از نظر معماری یکسان هستند، اما داده ورودی و تابع ضرری که برای آموزش استفاده می‌کنند، متفاوت است. برای وزن دهی به داده‌ها از نسخه چند کلاس آدابوست که در [32] معرفی شده‌است استفاده کرده‌ایم، روند کار به این صورت است که ضریب داده‌های ورودی به CNN بعدی از نتیجه دسته‌بندی CNN قبلی مشخص می‌شود. ما برای آموزش CNNها از تابع ضرر کانونی معرفی شده در [20] استفاده کرده‌ایم با این تفاوت که پارامتر  $\gamma$  که نشان‌دهنده میزان اهمیت داده‌های آموزشی سخت است (داده‌هایی که توسط دسته‌بند به خوبی دسته‌بندی نمی‌شوند)، برای هر CNN نسبت به CNN قبلی افزایش می‌یابد. در بخش 4-1 درباره ساختار پیشنهادی و تابع ضرر پیشنهادی صحبت می‌شود.

### 5-2. ساختار شبکه پیشنهادی FENIL

ساختار پیشنهادی FENIL برای ترکیب CNNها که در شکل 2 نشان داده شده‌است، یک ترکیب آبشاری (Cascade) از تعدادی شبکه کانولووشنال است، تفاوت این شبکه‌ها در تابع ضرر استفاده شده برای آموزش و وزن داده‌هایی است که برای آموزش استفاده می‌کنند، گرچه داده‌های همه شبکه‌ها یکسان هستند، اما وزن داده‌ها در آموزش برای هر شبکه براساس نتیجه دسته‌بندی CNN قبلی مشخص می‌شود. در ادامه تابع ضرر روند وزن دهی داده‌ها را شرح خواهیم داد.

#### ✓ تابع ضرر کانونی افزایشی

ما برای آموزش هر کدام از دسته‌بندها (CNNها) از نسخه چنددسته‌ای تابع ضرر کانونی که در رابطه (9) تعریف کرده‌ایم استفاده می‌کنیم. (تابع ضرر معرفی شده در [20] برای دو دسته تعریف شده‌است). هر CNN تابع ضرر کانونی مختص خود را دارد، که به صورت زیر نشان داده شده است:

$$FL_i = \sum_{c=1}^C (1 - p_c^k)^{\gamma_i} t_c^k \log p_c^k \quad \gamma_i = \alpha i + \gamma_0$$

$t^k$  بردار هدف برای داده  $k$  ام است،  $p^k$  خروجی سافت مکس آخرین لایه شبکه و در واقع پیشبینی شبکه برای داده  $k$  ام است، پارامتر  $\gamma_i$  در تابع ضرر کانونی در رابطه (9) برای دسته بند  $i$  ام، نسبت به دسته بند  $i-1$  به اندازه  $\alpha$  افزایش پیدا می‌کند، و این بدین معنی است که دسته‌بند  $i$  ام نسبت به دسته‌بند قبلی به نمونه‌های آسان (نمونه‌هایی که با دقت بالایی درست تشخیص داده می‌شوند) اهمیت کمتری می‌دهد، و این موضوع باعث می‌شود تاثیر تعداد زیادی از نمونه‌های کلاس اکثریت که به خوبی دسته‌بندی شده‌اند و آموزش شبکه بوسیله آنها قدرت شبکه را بیش از این افزایش نخواهد داد، در بروزسانی پارامترها کاهش پیدا کنند.  $\alpha$  به عنوان یک هایپرپارامتر قابل تنظیم، سرعت تغییر گاما را با پیشروی در شبکه آبشاری CNNها مشخص می‌کند.  $\gamma_0$  برای اولین CNN برابر صفر است، بنابراین اولین شبکه با تابع ضرر آنتروپی متقابل آموزش می‌بیند.

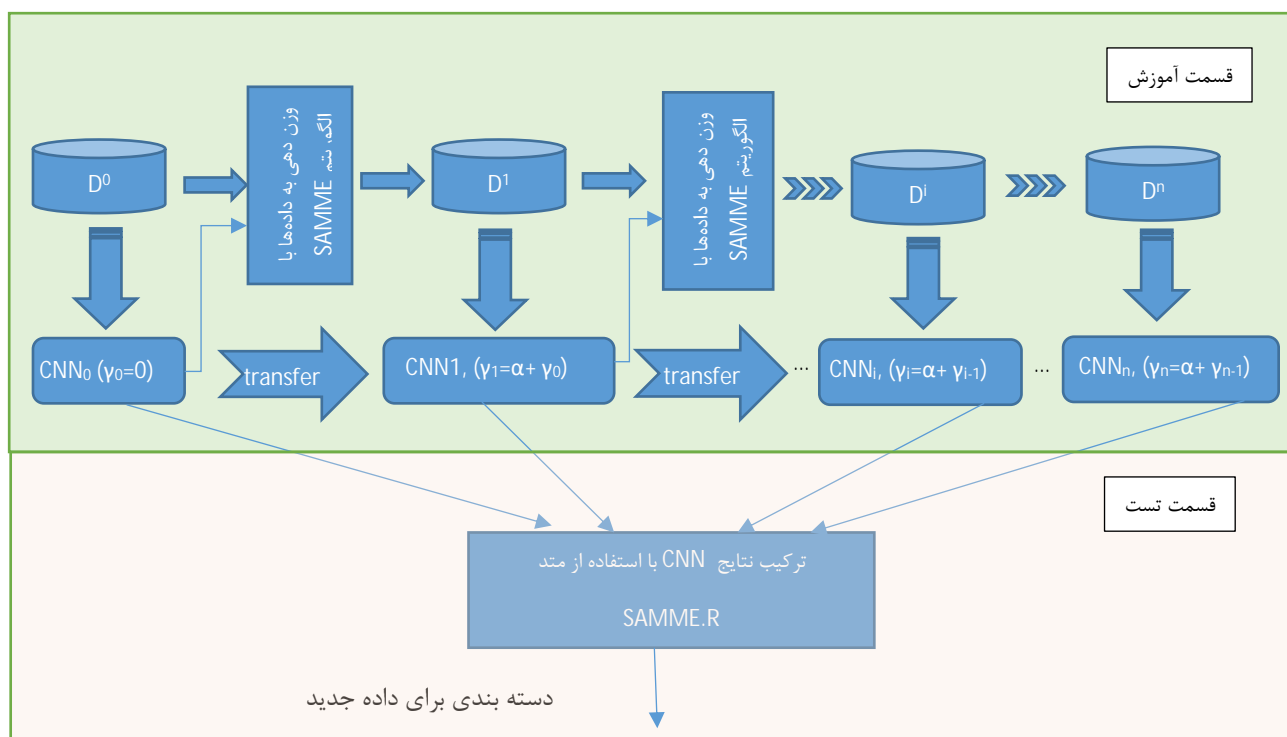
#### ✓ وزن دهی آدابوست برای داده‌های شبکه $i$ ام

راهکار [32] SAMME.R، مشابه آدابوست اولیه، وزن داده - هایی که در دسته‌بند قبلی اشتباه دسته‌بندی شده‌اند را افزایش می‌دهد، بدین صورت که برای وزن دهی داده‌های آموزشی  $CNN_i$  (یعنی  $D_i$ ) طبق رابطه (10) از نتیجه دسته‌بندی  $CNN$  قبلی استفاده می‌شود، بنابراین برای بدست آوردن وزن داده  $i$  ام ( $x_i$ ) برای  $CNN_{k+1}$  خواهیم داشت:

$$w_i^{k+1} = w_i^k \exp\left(-\frac{C-1}{C} \gamma_i^T \log P^k(x_i)\right) \quad i = 1 \dots n$$

در این رابطه،  $w_i^k$  وزن داده  $i$  ام در دسته‌بند  $k$  ام،  $C$  تعداد دسته‌ها و  $P^k(x_i)$  پیشبینی دسته‌بند  $k$  ام برای داده  $i$  ام ( $= P^k$ )،  $[p_c^k]$  و  $Y_i$  مقادیر هدف داده‌ی  $i$  ام است. طبق رابطه (10)، هرچه لگاریتم پیشبینی  $(\log P^k(x_i))$  و مقدار واقعی  $(Y_i)$  به هم نزدیک‌تر باشد، به دلیل علامت منفی که در حاصل ضرب این دو بردار وجود دارد، وزن کوچکتر می‌شود، و هرچه بیشتر از هم فاصله داشته باشند، وزن بیشتر می‌شود. بعد از بدست آوردن وزن همه داده‌ها، وزن‌ها نرمال‌سازی می‌شوند. بدین ترتیب وزن داده‌های آموزشی  $CNN_{k+1}$  با استفاده از خروجی  $CNN_k$  یعنی  $P^k$  مشخص می‌شود، بنابراین می‌توانیم بگوییم:

$$D^k = \{w_i^k x_i\} \quad i = 1 \dots n$$



شکل 2- ساختار پیشنهادی برای شبکه تجمعی FENIL

### ✓ یادگیری انتقالی

ما در این ساختار از مزیت یادگیری انتقالی استفاده می‌کنیم، به این صورت که هر CNN در زمان شروع آموزش، وزن‌های اولیه خود را از CNN قبلی می‌گیرد و سپس روی داده‌های جدید تنظیم دقیق<sup>23</sup> می‌شود. هنگام کار با CNNها استفاده از یادگیری انتقالی ضروری به نظر می‌رسد، چرا که با حرکت در دنباله CNNها، جریان داده‌های آموزشی کاهش پیدا می‌کند، به این علت که وزن داده‌هایی که در همه CNNهای قبلی درست دسته‌بندی شده‌اند، به شدت کاهش می‌یابد و در واقع با حرکت از یک CNN به CNN بعدی حجم داده‌های موثر در آموزش کاهش می‌یابد. بنابراین اگر بخواهیم شبکه‌ها را از ابتدا آموزش دهیم، به خوبی آموزش نمی‌بینند. در شبکه‌های CNN عمیق‌تر مثل ResNet، در CNN بعدی، لایه‌های ابتدایی را فریز می‌کنیم و فقط آموزش را روی لایه‌های انتهایی ادامه می‌دهیم.

بسته به پیچیدگی مجموعه داده مورد بررسی و قدرت CNN پایه، تعداد بهینه تخمین‌گرها متفاوت خواهد بود، بنابراین تعداد تخمین‌گرها و سرعت تغییر  $\gamma$  از یک CNN به CNN بعدی به عنوان دو هاپر پارامتر، برای مسائل مختلف قابل تنظیم است. اضافه کردن CNN بیشتر، همیشه به معنای رسیدن به دقت بیشتر نیست. از آنجا که با عبور جریان داده‌ها از هر CNN وزن داده‌هایی که اشتباه دسته‌بندی شده‌اند افزایش پیدا می‌کند و وزن داده‌هایی که بدرستی دسته‌بندی شده کاهش پیدا می‌کند، بعد از عبور از چند CNN، وزن تعداد زیادی از داده‌ها بسیار کم خواهد شد و با حرکت به سمت CNNهای انتهایی، حجم داده‌های موثر در آموزش CNN کاهش پیدا می‌کند و برای آموزش CNNهای انتهایی کافی نیستند، با استفاده از یادگیری انتقالی در این ساختار می‌توان حجم داده مورد نیاز برای آموزش CNNها را تا حدی کاهش و تعداد بهینه CNNها را افزایش داد.

### ✓ تغییر بایاس در لایه آخر

<sup>23</sup> fine tune

پیدا کند. این روش مشابه تغییر حد آستانه‌ی تصمیم‌گیری در مسائل دسته‌بندی دودویی است، با این تفاوت که روش تغییر بایاس، در دوره‌های اولیه آموزش بیشتر نمود پیدا می‌کند.

✓ ترکیب CNNها در زمان تست برای داده‌های جدید

برای دسته‌بندی داده‌های جدید توسط شبکه پیشنهادی FENIL از الگوریتم SAMME.R معرفی شده در [32] استفاده شده است. برای دسته‌بندی با M شبکه CNN، برای پیشبینی دسته داده ورودی (C(x)) از رابطه (13) استفاده شده است.

$$C(x) = \arg \max_c \sum_{m=1}^M h_c^{(m)}(x) \quad c = 1, \dots, C \quad (13)$$

که در این رابطه M تعداد CNNها، C تعداد دسته‌ها است و  $h_c^{(m)}(x)$  از رابطه زیر بدست می‌آید.

$$h_c^{(m)}(x) = (C-1) \left( \log p_c^{(m)}(x) - \frac{1}{C} \sum_{c'} \log p_{c'}^{(m)}(x) \right) \quad c = 1, \dots, C \quad (14)$$

## 6. جزئیات پیاده‌سازی و نتایج

برای پیاده‌سازی راهکار پیشنهادی، از چهار مجموعه داده مختلف استفاده شده است، مجموعه داده مصنوعی [32]، مجموعه داده CIFAR-10 [44] که مجموعه از تصاویر سایز کوچک در ده دسته مجزا تشکیل شده است، مجموعه داده تشخیص فعالیت EGTEA gaze+ [45] که تصاویر ویدیویی اول شخص از فعالیت‌های مرتبط با آشپزخانه است و مجموعه داده‌های پیگیری فعالیت از طریق سیگنال‌های ذخیره شده در گوشی همراه، که actitracker [46] نام دارد. جزئیات پیاده‌سازی، شبکه پایه CNN پیشنهادی برای قرار گرفتن در شبکه تجمعی FENIL و نتایج برای هر یک از مجموعه‌های داده در ادامه آمده است.

### 6-1. مجموعه داده مصنوعی

برای ایجاد دیتاست نامتوازن مصنوعی از توزیع نرمال استاندارد چند بعدی استفاده شده است. سه دسته در این دیتاست مصنوعی استفاده شده است که شامل 12300 نمونه است و هر نمونه یک بردار 10 بعدی است. داده‌ها به شکلی که در [1] بیان شده ایجاد شده است. رابطه زیر این داده‌ها را توصیف می‌کند. c مشخص کننده برچسب دسته است.

همانطور که در رابطه 11 و 12 دیده می‌شود، خروجی رگرسیون هر CNN با استفاده از یک تابع فعال‌ساز سافت‌مکس، به توزیع احتمال دسته تبدیل می‌شود،

$$s = \theta^0 (F^{0-1})^T + b^0 \quad (11)$$

$$p = \text{softmax}(s) \quad (12)$$

که در این رابطه  $\theta^0$  وزن لایه آخر،  $F^{0-1}$  بردار ویژگی ورودی به لایه آخر و  $b^0$  بایاس لایه آخر است. در ساختار پیشنهادی FENIL مقدار اولیه وزن‌های لایه‌های CNN مقادیر پیش فرض پایتورچ و بایاس همه لایه‌ها، بجز لایه آخر صفر در نظر گرفته شده است. از بایاس لایه آخر به عنوان ابزاری برای اهمیت بیشتر به دسته اقلیت استفاده کرده شده است. یقیناً تعداد خطاها در هر دسته، در اولین CNN می‌تواند وزن آن دسته را در آموزش‌های بعدی افزایش دهد (چراکه وزن داده‌های آن دسته با دسته‌بندی اشتباه افزایش پیدا می‌کند)، بنابراین اگر ترفندی بکاربریم که تعداد خطاها در دسته اقلیت را افزایش دهیم، به نفع کلاس اقلیت خواهد بود، برای رسیدن به این منظور در شبکه پیشنهادی از تغییر در بایاس لایه آخر استفاده شده است.

تعداد عناصر بردار بایاس در لایه آخر برابر تعداد دسته - هاست، بنابراین به ازای هر دسته یک مقدار معادل در بایاس وجود دارد، مقدار عنصر  $\theta^0$  بایاس برای هر کلاس نام طوری در نظر گرفته شده است که برای دسته با تعداد کمتر (دسته اقلیت) تابع سافت‌مکس عدد کوچکتری تولید کند، (عدد کوچکتر، احتمال دسته‌بندی درست را کاهش می‌دهد)، برای مثال برای یک مساله سه دسته‌ای با تعداد نمونه‌های [800, 500, 1000]، یک انتخاب می‌تواند  $b^0 = [-0.5, -1.0, 0.0]$  باشد، هر عدد مشخص کننده بایاس برای یک دسته است، مثلاً -0.5 برای دسته با 800 نمونه و -1.0 بایاس برای دسته با 500 نمونه است. این بایاس احتمال پیشینی (prior probability) برابر  $p = [0.3072, 0.1863, 0.50]$  تولید می‌کند (در واقع -0.5 سافت مکس وارون 0.3072 است)، چنین بایاسی برای این مثال باعث می‌شود احتمال پیشینی درست در دسته اقلیت (دسته دوم)، مخصوصاً در دوره‌های اولیه، کاهش و در نتیجه وزن آن افزایش

جدول 1- پیکربندی CNN استفاده شده برای دیتاست

داده‌های مصنوعی

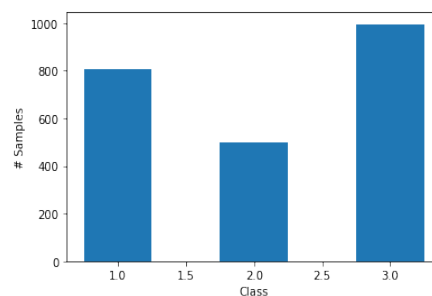
لایه‌های شبکه CNN پیشنهادی:
کانولوشن یک بعدی با 32 فیلتر و کرنل‌های $3 \times 1$ فعال ساز <b>ReLU</b>
کانولوشن یک بعدی با 64 فیلتر و کرنل‌های $2 \times 1$ <b>Max-Pooling</b> با کرنل‌های $2 \times 1$
لایه تمام متصل با 128 نرون و فعال ساز <b>ReLU</b> <b>Dropout 20%</b>
لایه تمام متصل با 16 نرون و فعال ساز <b>ReLU</b>
لایه تمام متصل با 3 نرون و فعال ساز <b>SoftMax</b>

همانطور که در

جدول 1 نشان داده شده است، CNN پیشنهادی برای مجموعه داده مصنوعی دارای شش لایه است که در انتهای لایه خروجی آن فعال ساز **soft-max** قرار گرفته است. لایه اول یک لایه کانولوشن یک بعدی با کرنل‌های  $3 \times 1$  است و لایه دوم هم یک لایه کانولوشن یک بعدی با هسته‌های  $2 \times 1$  است و به دنبال آن یک لایه **max-pooling**  $2 \times 1$  قرار گرفته است. این دو لایه به ترتیب دارای تعداد 32 و 64 فیلتر هستند. پس از آنها، دو لایه کاملاً متصل به ترتیب دارای 128 و 16 نرون قرار دارد و **dropout** 20 درصد در لایه 128 نرون کاملاً متصل استفاده شده است. تمام لایه‌ها با استفاده از تابع **ReLU** فعال می‌شوند. در نهایت، لایه خروجی یک لایه کاملاً متصل با سه نرون است که با استفاده از تابع **softmax** فعال می‌شود. بهینه ساز **Adagard** با نرخ یادگیری برابر با 0.3 و **exponential scheduler** با گاما برابر با 0.9 استفاده شده است، وزن و بایاس در ابتدا با تنظیمات پیش فرض **PyTorch** استفاده شده است. لازم به ذکر است تعداد لایه‌ها و نحوه قرار گیری آنها با سعی و

$$c = \begin{cases} 1. & 0 \leq \sum x_j^2 \leq X_{1/3}^2 \\ 2. & X_{1/3}^2 \leq \sum x_j^2 \leq X_{2/3}^2 \\ 3. & X_{2/3}^2 \leq \sum x_j^2 \end{cases} \quad (15)$$

در رابطه (15)  $X_{k/3}^2$  چندک<sup>24</sup>هایی هستند که مشخص کننده از کل داده‌های 10 بعدی تولید شده با توزیع  $X^2$  هستند و  $\sum x_j^2$  فاصله اقلیدسی است. در واقع رابطه (15) نشان دهنده داده‌های مربوط به داده‌های مختلف است که توسط کره‌های چندبعدی متحدالمرکز تودرتو جدا می‌شوند. همان‌طور که در رابطه (15) نشان داده شده است، نمونه‌های دسته 1 در اطراف مبدا یک کره قرار گرفته‌اند، نمونه‌های دسته 2 بین سطح دو کره توزیع شده‌اند و نمونه‌های دسته 3 خارج از کره‌ها قرار دارند.



شکل 3- توزیع داده‌های مصنوعی در سه کلاس

برای ایجاد یک مجموعه داده‌ی آموزشی با نامتوزانی دسته - ای، در مجموع، 2300 نمونه به عنوان داده‌های آموزشی استخراج می‌شود، به طوری که 500، 800، و 1000 نمونه به ترتیب، متعلق به کلاس 1، 2 و 3 هستند (شکل 3 شکل 3). مجموعه تست با استخراج 10000 نمونه مستقل ساخته می‌شود. هر نمونه در مجموعه آزمون متعلق به یکی از سه دسته با احتمال‌های مساوی است. تقریباً به تعداد مساوی داده در مجموعه تست برای سه دسته وجود دارد.

<sup>24</sup> Quantile

متقابل استاندارد جایگزین شده است (CASCADE-CNN، ردیف 5 جدول) و با روش پیشنهادی FENIL مقایسه شده است، روش ما در هر دو مرحله آموزش و تست، **f1.score** و **Balanced accuracy** به ترتیب با مقدار 1/55، 1/63، 1/16 و 1/22 بالاتر، دقت بهتری دارد.

جدول 2 - مقایسه نتایج تکنیک‌های مختلف روی داده‌های

مصنوعی

Model name	Train acc %	Test acc %	F1-score %	Balanced accuracy
AdaBoost-Decision-Tree	91.78	77.08	75.54	75.64
CNN+CE	94.43	93.18	93.6	92.98
CNN+balanced CE	95.83	94.01	93.72	93.84
SMOTE-CNN	95.48	93.45	93.89	93.22
CASCADE-CNN	95.61	94.08	93.99	93.87
روش پیشنهادی	97.16	95.71	95.15	95.09

## 2-6. مجموعه داده long tailed-Cifar10

مجموعه داده [44]Cifar-10 متوازن است و شامل 10 دسته است که برای هر دسته 5000 داده آموزشی استفاده شده است. و 10000 تصویر برای داده‌های تست ذخیره شده است. برای بررسی کارایی شبکه FENIL پیشنهادی و ایجاد دیتاست نامتوازن، از نسخه Long-Tailed Cifar به نام (Cifar-10-LT) [47] استفاده شده است. تعداد دسته‌های مجموعه‌های داده CIFAR-10 استاندارد و CIFAR-10-LT برابر است، اما تعداد نمونه‌های هر کلاس با توجه به تابع نمایشی  $n = n_t \times \mu^t$  مشخص می‌شود. که  $t$  ایندکس دسته و  $n_t$  تعداد نمونه‌های دسته در مجموعه داده اولیه و  $\mu$  عددی بین 0 و 1 است. مجموعه آزمون تغییری نمی‌کند. فاکتور نامتوانی (imbalanced factor) برابر است با حاصل تقسیم بزرگترین دسته بر کوچکترین دسته،

خطا و بررسی پیکربندی‌های مختلف و مقایسه دقت نهایی آنها انتخاب شده است.

در ساختار شبکه FENIL پیشنهادی، تعداد بهینه تخمین - گرها 8 و  $\alpha$  در رابطه (9)، یک در نظر گرفته شده است، برای مقایسه نتایج از معیارهای دقت، **f1-score** و دقت متوازن شده استفاده شده است و در جدول 2 با دیگر روش‌های مقابله با نامتوانی داده‌ها مقایسه شده است.

دقت آموزش و تست، معیار **F1-score** و **Balanced**

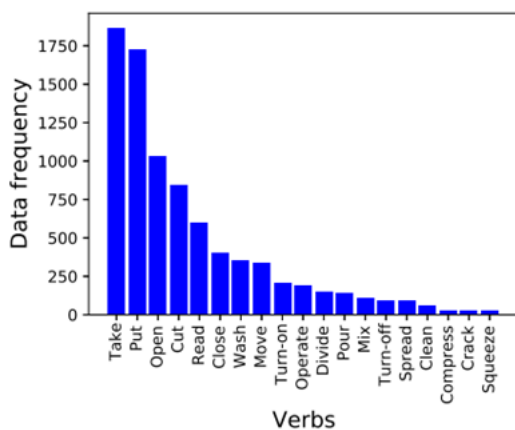
**Accuracy** روی مجموعه داده مصنوعی در جدول 2 نشان داده شده است. نتیجه نشان می‌دهد که شبکه FENIL پیشنهادی بهترین نتایج را در مقایسه با از رویکردهای دیگر کسب کرده است، معیارهای مقایسه نسبت به روش قدیمی آدا بوست که در [32] با تخمین گرهای درخت تصمیم پیشنهاد شده است، فاصله زیادی دارد و میزان افزایش کارایی 18/63، 19/61 و 19/45 بالاتر را به ترتیب برای دقت تست، **F1-score** و **Balanced accuracy** بدست آورده است. دقت آموزش شبکه پیشنهادی 2/73 بیشتر از CNN تنها با تابع ضرر آنتروپی متقابل استاندارد است و دقت تست، **F1-score** و **Balanced accuracy** در نمونه آزمایشی 10000 تایی هنگام استفاده از شبکه تجمعی پیشنهادی، به ترتیب 2/53، 1/55 و 2/11 بیشتر است. در مقایسه تابع ضرر پیشنهادی با آنتروپی متقابل متوازن (وزن دار) که یک راه حل در مواجهه با نامتوانی دسته‌ای است، دقت زمان آموزش و تست، **F1-score** و **Balanced accuracy** شبکه تجمعی پیشنهادی ما به ترتیب 1/33، 1/7، 1/43 و 1/25 بیشتر است.

روش پرطرفدار دیگر برای رسیدگی به نامتوانی دسته‌ای، روش بیش نمونه برداری مصنوعی دسته اقلیت [15] (SMOTE) است، نتیجه SMOTE روی داده‌های مصنوعی در ردیف 4 جدول 2 نشان داده شده است، روش ما دقت آموزش و تست بهتری را نسبت به SMOTE نشان داده است. به طور کلی استفاده از SMOTE دقت CNN استاندارد با تابع ضرر آنتروپی متقابل را در نمونه‌های آزمایشی بهبود بخشیده است. همچنین برای بررسی تاثیر تابع ضرر کانونی افزایشی، با تابع آنتروپی

نتایج نشان می‌دهند روش پیشنهادی بهترین کارایی را بین تکنیک‌هایی مطرح شده بدست آورده‌است.

### 3-6. مجموعه داده EGTEA

همچنین روش پیشنهادی روی مجموعه داده EGTEA **Gaze+** [45] اجرا شده است. این مجموعه داده شامل کلیپ‌های اول شخص (ویدیوها توسط دوربین عینک جمع‌آوری شده است) از فعالیت‌های مربوط به آشپزخانه است. این کلیپ‌ها که خودشان بخش‌هایی از ویدیو بزرگتر هستند، در 32 موضوع مختلف جمع‌آوری شده‌اند. به هر کلیپ یک برچسب موضوعی اختصاص داده شده است، این مجموعه داده شامل 19 کلاس افعال مختلف است (به عنوان مثال، "برداشتن"، "گذاشتن"، "بریدن" و غیره). ما مشابه [48] از این 19 دسته افعال مختلف استفاده می‌کنیم. **EGTEA Gaze+** [45] ذاتاً نامتوازن دسته‌ای است. شکل 4 توزیع داده مجموعه داده EGTEA را نشان داده شده است، همانطور که مشاهده می‌شود این مجموعه داده براساس افعال، نامتوازن و **long tail** است.



شکل 4 - توزیع داده افعال در مجموعه داده EGTEA gaze+

ما برای بررسی کارایی راهکار پیشنهادی روی مجموعه داده EGTEA **Gaze+** از **pre trained 3D Resnext-101** Kinetics-400 عنوان دستبند پایه استفاده کردیم که قبلاً با آموزش دیده شده است، **learning rate** برابر 0.001 تنظیم شده است و **optimizer** مورد استفاده **SGD** است با **momentum**

که بین 1 تا 100 متغیر است. برای آموزش **Cifar-10-LT** از شبکه **ResNet18**، **batch size=256**، **learning rate=0.01**، **weight\_decay=0.01** و **momentum=0.9** با **SGD** اپتیمایزر به عنوان تخمین‌گر پایه استفاده شده است. تعداد بهینه تخمین‌گرها برابر 4 است و الفا (نرخ تغییر گاما با افزایش **i**) برابر یک است. آموزش اولین شبکه از ابتدا و به تعداد 80 اپیوچ انجام می‌شود و در سه تای بعدی فقط لایه آخر آموزش می‌بیند و همه لایه‌ها دیگر فریز می‌شوند.

جدول 3- مقایسه کارایی شبکه تجمعی پیشنهادی با دیگر

راهکارهای مقابله با نامتوانی دسته ای با معیار **Balanced accuracy** برای نرخ‌های نامتوانی مختلف برای **Cifar-10-LT**

Imbalanced rate	100	50	20	10
ResNet+CE	70.36	74.81	82.23	86.39
CNN+Balanced CE	70.22	75.82	82.90	86.84
Resnet+Focal( $\gamma=2$ )	70.38	76.71	82.89	86.81
SMOTE+ResNet	71.99	77.1	82.76	86.85
Voting ResNet(n=4)	70.96	75.99	83.16	86.82
Cascade ResNet(n=4)	71.25	76.84	83.42	86.85
روش پیشنهادی	73.31	77.21	83.56	86.98

روش پیشنهادی بر روی **Cifar-10-LT** با نرخ نامتوانی مختلف بین 10 تا 100 اعمال شده است و معیار **Balanced accuracy** را برای هر یک محاسبه شده است و در جدول 3 با سایر روش‌های مقابله با نامتوانی دسته‌ای مقایسه شده است که شامل استفاده از تنها یک **ResNet** با تابع ضرر آنتروپی استاندارد، تابع ضرر متوازن شده (وزن‌دار)، استفاده از تکنیک افزایش مصنوعی داده ای کلاس اقلیت **SMOTE** و رای گیری از 4 شبکه **ResNet** که به طور متفاوت وزن‌دهی اولیه شده‌اند می‌باشد.

هرکدام به تعداد 10 ایپوچ، آموزش دیده می‌شوند. کارایی روش پیشنهادی با معیارهای **F1-score** و دقت آزمون بررسی شده و در

برابر 0.9 و **weight decay** برابر 0.0005. از سه تخمین‌گر استفاده شده که اولین تخمین‌گر از ابتدا و به تعداد 80 ایپوچ آموزش دیده است و فقط لایه انتهایی بقیه شبکه‌ها، که وزن‌های آن‌ها بوسیله یادگیری انتقالی از شبکه قبلی گرفته شده‌اند، نشان داده شده است، روش پیشنهادی ما با بدست آوردن 68.75 و 64.76 نسبت به دیگر تکنیک‌ها برتری دارد.

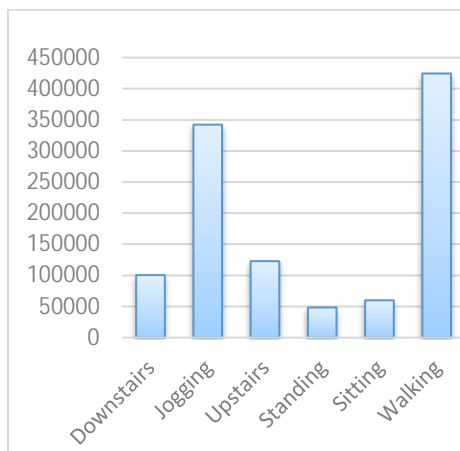
روش پیشنهادی FENIL	68.75	64.76
--------------------	-------	-------

#### 4-6. مجموعه داده‌ی تشخیص فعالیت‌های انسان توسط گوشی هوشمند

برای انجام این کار از مجموعه داده **Actitracker[46]** که بوسیله آزمایشگاه **WISDM (Wireless Sensor Data Mining)** جمع آوری شده است استفاده کرده ایم. این مجموعه داده شامل اطلاعات جمع آوری شده از 36 فرد است که بوسیله گوشی همراهی که در جیبشان قرار داده شده و با سرعت 20 نمونه بر ثانیه گرفته شده است. کاربران 6 فعالیت مختلف را در محیط کنترل شده انجام می‌دهند و داده‌ها در واقع مقادیر شتاب سه بعدی در راستای محورهای **x**، **y** و **z** است. این فعالیت‌ها شامل پایین رفتن از پله (**Downstairs**)، دویدن (**Jogging**)، بالا رفتن از پله‌ها (**Upstairs**)، ایستادن (**Standing**)، نشستن (**Sitting**) و پیاده روی (**Walking**) است.

جدول 5- ساختار CNN پیشنهادی برای دیتاست **actitracker**

لایه‌ها	تعداد فیلترها یا نرون‌ها	سایز کرنل
<b>ID Convolution ReLU</b>	100	10x1
<b>Max-Pooling</b>	--	3x1
<b>ID Convolution ReLU</b>	160	10x1
<b>Global-Average-Pooling Dropout 20%</b>	--	--
<b>Fully connected SoftMax</b>	6 Neurons	--



شکل 5- توزیع دسته‌های مختلف در مجموعه داده **actitracker**

جدول 4 - مقایسه کارایی شبکه تجمعی پیشنهادی با دیگر تکنیک‌های مقابله با نامتوازنی داده‌ای روی مجموعه داده

#### EGTEA

	Test accuracy	F1-score
CNN+CE	67.41	63.21
CNN +balanced CE	66.86	63.32
Voting CNN	67.56	63.65
Cascade CNN	67.85	64.01

دوم 5 بار، CNN سوم 3 بار و دو CNN آخر هرکدام یک ایپوچ آموزش دیده‌اند. برای مقایسه راهکار پیشنهادی با تکنیک‌هایی که از فقط از یک CNN استفاده می‌کنند، 50 ایپوچ در نظر گرفته شده است. در جدول 6 نتایج حاصل از هرکدام از راهکارها قرار داده شده است.

همانطور که از جدول 6 مشخص است با در نظر گرفتن دقت متوازن تست شبکه FENIL پیشنهادی، با فاصله 2/76، 1/04، 1/65 و 1/01 به ترتیب از آنتروپی متقابل و آنتروپی متقابل متوازن شده، رای گیری CNNها و آبخار CNNها (ترکیب CNN بدون در نظر گرفتن تابع ضرر کانونی) بهتر است و با توجه امتیاز F1، شبکه FENIL با کسب 90/01 بهترین امتیاز را کسب کرده است.

## 7. جمع بندی

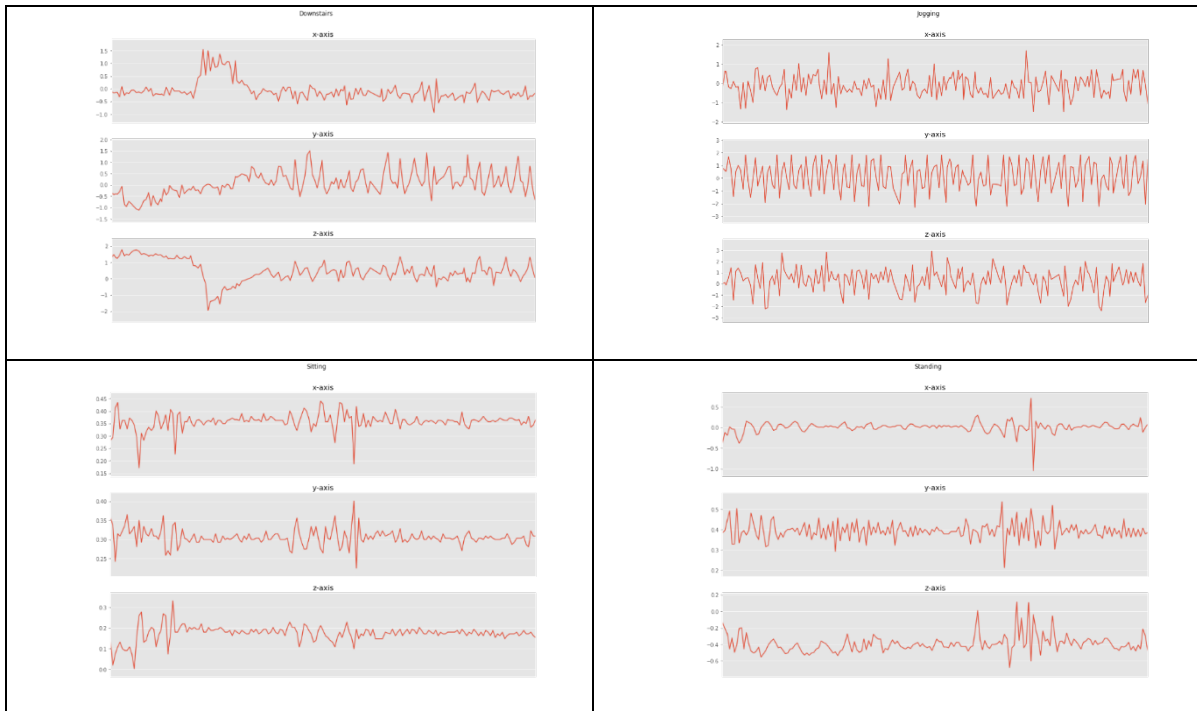
تابع ضرر کانونی در کار با داده‌های نامتوازن در شناسایی اشیا بسیار موفق عمل کرده‌است اما زمانی که در مساله‌ی دسته‌بندی، تابع ضرر کانونی استفاده می‌شود، گرچه برای دسته اقلیت به‌خوبی عمل می‌کند اما کارایی آن در دسته اکثریت قابل قبول نیست، استفاده از گام‌های مختلف کارایی تابع ضرر کانونی بر روی داده‌های اقلیت و اکثریت را تغییر می‌دهد، انتخاب مقدار دقیق گاما به عنوان یک هایپرپارامتر به طوری که دقت در دسته اقلیت و اکثریت حفظ شود، مشکل است. در این مقاله شبکه تجمعی عمیق جدیدی بر اساس تابع ضرر کانونی با  $\gamma$ های مختلف پیشنهاد داده شده است که دسته‌بندهای پایه در این شبکه تجمعی، شبکه عصبی کانولوشنال است. به این ترتیب بازه‌ای از مقادیر گاما در آموزش شبکه استفاده می‌شوند. بنابراین شبکه‌ای ایجاد شده است که هم برای دسته اقلیت و هم برای دسته اکثریت کارایی خوبی دارد. در این شبکه، هر CNN نسبت به CNN قبلی به داده‌های آسان، اهمیت کمتری می‌دهد و تمرکز خود را روی اشتباهات شبکه قبلی بیشتر می‌کند، برای وزن دهی به داده‌هایی که توسط CNN قبلی به درستی دسته بندی نشده‌اند از

جدول 6-مقایسه نتایج راهکارهای مختلف مقابله با نامتوانی داده‌ها روی مجموعه داده actitracker

	Test accuracy	Balanced_accuracy	F1-score
CNN+CE	96.25	90.14	88.77
CNN + weighted CE	96.42	91.86	88.65
Voting CNN	97.31	91.25	88.89
Cascade CNN	97.71	91.89	89.52
روش پیشنهادی	97.86%	92.90	90.01

همانطور که در شکل 5 نشان داده شده است، مجموعه داده نسبت به فعالیت‌های انجام شده (برچسب‌های دسته) نامتوازن است. در ابتدا داده‌ها نرمال سازی شده و به توزیع نرمال استاندارد برده شده‌است، سپس این داده‌های استاندارد شده به برش‌های زمانی با اندازه پنجره 80 تقسیم می‌شوند که درواقع به مجموعه‌ای از قطعات 4 ثانیه‌ای داده تبدیل می‌شود. سپس این داده‌ها به طور تصادفی با نسبت 70 به 30 به مجموعه‌های آموزشی و تست تقسیم می‌شوند. نمونه‌ای از داده‌ها در شکل 6 نشان داده شده‌است.

داده‌های آموزشی به یک شبکه کانولوشنال یک بعدی داده شده است. ساختار شبکه در جدول 6 نشان داده شده‌است. این شبکه در ابتدا با یک لایه کانولوشنال یک بعدی با 100 فیلتر آغاز می‌شود و پس از آن یک لایه  $3 \times 1$  Max-pooling قرار گرفته، یک لایه کانولوشنال یک بعدی دیگر با 160 فیلتر به عنوان لایه سوم قرار گرفته است و پس از average-pooling و dropout 20 درصد، لایه تماماً متصل با 6 نرون قرار گرفته است که یک تابع SoftMax در انتهای آن قرار داده شده است. بهینه ساز Adam با نرخ یادگیری 0.001 برای آموزش CNN استفاده شده‌است. برای پیاده‌سازی راهکار تجمعی پیشنهادی از 5 تخمین‌گر استفاده شده که اولین CNN 40 بار و CNN



شکل 6- نمونه‌هایی از داده‌های آموزشی نرمال شده.

- [1] F. Anowar and S. Sadaoui, "Incremental learning framework for real-world fraud detection environment," *Comput. Intell.*, vol. 37, no. 1, pp. 635-656, / 2021, doi: 10.1111/coin.12434.
- [2] M. Xu and Y. Wang, "An Imbalanced Fault Diagnosis Method for Rolling Bearing Based on Semi-Supervised Conditional Generative Adversarial Network With Spectral Normalization," *IEEE Access*, vol. 9, pp. 27736-27747, / 2021, doi: 10.1109/ACCESS.2021.3058334.
- [3] M. Zareapoor, P. Shamsolmoali, and J. Yang, "Oversampling Adversarial Network for Class-Imbalanced Fault Diagnosis," *CoRR*, vol. abs/2008.03071, / 2020. [Online]. Available: <https://arxiv.org/abs/2008.03071>.
- [4] M. Tavallae, N. Stakhanova, and A. A. Ghorbani, "Toward Credible Evaluation of Anomaly-Based Intrusion-Detection Methods," *IEEE Transactions on Systems, Man, and Cybernetics, Part C (Applications and Reviews)*, vol. 40, no. 5,

الگوریتم **SAMME.R** استفاده شده است. و  $\gamma$  از یک **CNN** به **CNN** بعدی با نرخ  $\alpha$  تغییر می‌کند. برای افزایش جریان داده به نفع دسته اقلیت در شبکه تجمعی، در اولین **CNN**. بایاس آخرین لایه طوری تنظیم می‌شود که خطای دسته‌بند در دسته اقلیت افزایش پیدا کند. در بخش 5 شبکه **FENIL** روی مجموعه داده‌های مختلف اجرا و نتایج بررسی شدند که بررسی نتایج کارایی شبکه **FENIL** روی داده‌های نامتوازن مختلف تصویری، ویدیو و سیگنال را نشان می‌دهد. در این مقاله کارایی راهکار پیشنهادی با استفاده از شبکه پایه **CNN** و در کاربرد دسته‌بندی داده‌ها در مجموعه داده‌های کوچک بررسی شده است به عنوان کارهای آتی پیشنهاد می‌شود کارایی روش در مجموعه‌های بزرگ‌تر و پیچیده‌تر بررسی شود و در ترکیب با دیگر راهکارهای مقابله با نامتوانی داده‌ها میزان موفقیت آن سنجیده شود.

- [13] D. Masko and P. Hensman, "The Impact of Imbalanced Training Data for Convolutional Neural Networks," 2015.
- [14] H. Lee, M. Park, and J. Kim, "Plankton classification on imbalanced large scale database via convolutional neural networks with transfer learning," *2016 IEEE International Conference on Image Processing (ICIP)*, pp. 3713-3717, 2016.
- [15] N. Chawla, K. Bowyer, L. Hall, and W. Kegelmeyer, "SMOTE: Synthetic Minority Over-sampling Technique," *J. Artif. Intell. Res. (JAIR)*, vol. 16, pp. 321-357, 01/01 2002, doi: 10.1613/jair.953.
- [16] S. Pouyanfar *et al.*, "Dynamic Sampling in Convolutional Neural Networks for Imbalanced Data Classification," in *2018 IEEE Conference on Multimedia Information Processing and Retrieval (MIPR)*, 10-12 April 2018 2018, pp. 112-117, doi: 10.1109/MIPR.2018.00027.
- [17] M. Havaei *et al.*, "Brain tumor segmentation with Deep Neural Networks," *Medical Image Analysis*, vol. 35, pp. 18-31, 2017/01/01/ 2017, doi: <https://doi.org/10.1016/j.media.2016.05.004>.
- [18] M. Buda, A. Maki, and M. A. Mazurowski, "A systematic study of the class imbalance problem in convolutional neural networks," *Neural Networks*, vol. 106, pp. 249-259, 2018/10/01/ 2018, doi: <https://doi.org/10.1016/j.neunet.2018.07.011>.
- [19] S. Wang, W. Liu, J. Wu, L. Cao, Q. Meng, and P. J. Kennedy, "Training deep neural networks on imbalanced data sets," ed. Piscataway, NJ: Institute of Electrical and Electronics Engineers (IEEE), 2016, pp. 4368-4374.
- [20] T. Lin, P. Goyal, R. Girshick, K. He, and P. Dollár, "Focal Loss for Dense Object Detection," in *2017 IEEE International Conference on Computer Vision (ICCV)*, 22-29 Oct. 2017 2017, pp. 2999-3007, doi: 10.1109/ICCV.2017.324.
- [21] S. H. Khan, M. Hayat, M. Bennamoun, F. A. Sohel, and R. Togneri, "Cost-Sensitive Learning of Deep Feature Representations From Imbalanced pp. 516-524, 2010, doi: 10.1109/TSMCC.2010.2048428.
- [5] M. Rezaei, H. Yang, and C. Meinel, "Recurrent generative adversarial network for learning imbalanced medical image semantic segmentation," *Multim. Tools Appl.*, vol. 79, no. 21-22, pp. 15329-15348, / 2020, doi: 10.1007/s11042-019-7305-1.
- [6] R. Singh, T. Ahmed, A. Kumar, A. K. Singh, A. K. Pandey, and S. K. Singh, "Imbalanced Breast Cancer Classification Using Transfer Learning," *IEEE ACM Trans. Comput. Biol. Bioinform.*, vol. 18, no. 1, pp. 83-93, / 2021, doi: 10.1109/TCBB.2020.2980831.
- [7] M. Kubat, R. C. Holte, and S. Matwin, "Machine Learning for the Detection of Oil Spills in Satellite Radar Images," *Machine Learning*, vol. 30, no. 2, pp. 195-215, 1998/02/01 1998, doi: 10.1023/A:1007452223027.
- [8] S. Yue, "Imbalanced Malware Images Classification: a CNN based Approach," 2017. [Online]. Available: <http://arXiv.org/abs/>.
- [9] O. Sturman *et al.*, "Deep learning-based behavioral analysis reaches human accuracy and is capable of outperforming commercial solutions," *Neuropsychopharmacology*, vol. 45, no. 11, pp. 1942-1952, 2020/10/01 2020, doi: 10.1038/s41386-020-0776-y.
- [10] G. E. A. P. A. Batista, R. C. Prati, and M. C. Monard, "A study of the behavior of several methods for balancing machine learning training data," *SIGKDD Explor. Newsl.*, vol. 6, no. 1, pp. 20-29, 2004, doi: 10.1145/1007730.1007735.
- [11] R. Anand, K. G. Mehrotra, C. K. Mohan, and S. Ranka, "An improved algorithm for neural network classification of imbalanced training sets," *IEEE Transactions on Neural Networks*, vol. 4, no. 6, pp. 962-969, 1993, doi: 10.1109/72.286891.
- [12] J. M. Johnson and T. M. Khoshgoftaar, "Survey on deep learning with class imbalance," *Journal of Big Data*, vol. 6, no. 1, p. 27, 2019/03/19 2019, doi: 10.1186/s40537-019-0192-5.

- [29] Y. Freund and R. E. Schapire, "Experiments with a New Boosting Algorithm," 1996.
- [30] J. Li, S. Fong, R. K. Wong, and V. W. Chu, "Adaptive multi-objective swarm fusion for imbalanced data classification," *Information Fusion*, vol. 39, pp. 1-24, 2018/01/01/ 2018, doi: <https://doi.org/10.1016/j.inffus.2017.03.007>.
- [31] A. J. Ferreira and M. A. T. Figueiredo, "Boosting Algorithms: A Review of Methods, Theory, and Applications," in *Ensemble Machine Learning: Methods and Applications*, C. Zhang and Y. Ma Eds. Boston, MA: Springer US, 2012, pp. 35-85.
- [32] T. J. Hastie, S. Rosset, J. Zhu, and H. Zou, "Multi-class AdaBoostB " *Statistics and Its Interface*, vol. 2, pp. 349-360, 2009.
- [33] "ImageNet Large Scale Visual Recognition Challenge 2015. ImageNet." <http://image-net.org/challenges/LSVRC/2015/> (accessed).
- [34] D. Ciregan, U. Meier, and J. Schmidhuber, "Multi-column deep neural networks for image classification," in *2012 IEEE Conference on Computer Vision and Pattern Recognition*, 16-21 June 2012 2012, pp. 3642-3649, doi: 10.1109/CVPR.2012.6248110.
- [35] H. Guo and H. L. Viktor, "Learning from imbalanced data sets with boosting and data generation: the DataBoost-IM approach," *ACM Sigkdd Explorations Newsletter*, vol. 6, no. 1, pp. 30-39, 2004, doi: 10.1145/1007730.1007736.
- [36] I. Hwang, H.-M. Park, and J.-H. Chang, "Ensemble of deep neural networks using acoustic environment classification for statistical model-based voice activity detection," *Computer Speech & Language*, vol. 38, pp. 1-12, 2016.
- [37] X. Zhou, L. Xie, P. Zhang, and Y. Zhang, "An ensemble of deep neural networks for object tracking," in *2014 IEEE International Conference on Image Processing (ICIP)*, 2014: IEEE, pp. 843-847.
- [22] Q. Dong, S. Gong, and X. Zhu, "Imbalanced Deep Learning by Minority Class Incremental Rectification," *IEEE Transactions on Pattern Analysis and Machine Intelligence*, vol. 41, no. 6, pp. 1367-1381, 2019, doi: 10.1109/TPAMI.2018.2832629.
- [23] S. Ando and C. Y. Huang, "Deep Over-sampling Framework for Classifying Imbalanced Data," in *Machine Learning and Knowledge Discovery in Databases*, Cham, M. Ceci, J. Hollmén, L. Todorovski, C. Vens, and S. Džeroski, Eds., 2017// 2017: Springer International Publishing, pp. 770-785.
- [24] Z. Zhang, L. Chen, Q. Liu, and P. Wang, "A Fraud Detection Method for Low-Frequency Transaction," *IEEE Access*, vol. 8, pp. 25210-25220, / 2020, doi: 10.1109/ACCESS.2020.2970614.
- [25] H. Guo, Y. Li, J. Shang, G. Mingyun, H. Yuanyue, and G. Bing, "Learning from class-imbalanced data: Review of methods and applications," *Expert Syst. Appl.*, vol. 73, pp. 220-239, / 2017, doi: 10.1016/j.eswa.2016.12.035.
- [26] B. Krawczyk, L. L. Minku, J. Gama, J. Stefanowski, and M. Wozniak, "Ensemble learning for data stream analysis: A survey," *Inf. Fusion*, vol. 37, pp. 132-156, / 2017, doi: 10.1016/j.inffus.2017.02.004.
- [27] M. Galar, A. Fernández, E. B. Tartas, H. B. Sola, and F. Herrera, "A Review on Ensembles for the Class Imbalance Problem: Bagging-, Boosting-, and Hybrid-Based Approaches," *IEEE Trans. Syst. Man Cybern. Part C*, vol. 42, no. 4, pp. 463-484, / 2012, doi: 10.1109/TSMCC.2011.2161285.
- [28] H. F. Jerome, "Greedy function approximation: A gradient boosting machine," *The Annals of Statistics*, vol. 29, no. 5, pp. 1189-1232, 10/1 2001, doi: 10.1214/aos/1013203451.

- Available:  
<https://doi.org/10.1109/ICSC.2007.75>  
<http://doi.ieeecomputersociety.org/10.1109/ICSC.2007.75>.
- [44] A. Krizhevsky, "Learning Multiple Layers of Features from Tiny Images," *University of Toronto*, 05/08 2012.
- [45] Y. Li, M. Liu, and J. M. Rehg, "In the Eye of Beholder: Joint Learning of Gaze and Actions in First Person Video," in *Computer Vision – ECCV 2018*, Cham, V. Ferrari, M. Hebert, C. Sminchisescu, and Y. Weiss, Eds., 2018// 2018: Springer International Publishing, pp. 639-655.
- [46] J. R. Kwapisz, G. M. Weiss, and S. A. Moore, "Activity Recognition Using Cell Phone Accelerometers," *SIGKDD Explor. Newsl.*, vol. 12, no. 2, pp. 74–82, 2011, doi: 10.1145/1964897.1964918.
- [47] Y. Cui, M. Jia, T. Y. Lin, Y. Song, and S. Belongie, "Class-Balanced Loss Based on Effective Number of Samples," in *2019 IEEE/CVF Conference on Computer Vision and Pattern Recognition (CVPR)*, 15-20 June 2019 2019, pp. 9260-9269, doi: 10.1109/CVPR.2019.00949.
- [48] S. Sinha, H. Ohashi, and K. Nakamura, "Class-Wise Difficulty-Balanced Loss for Solving Class-Imbalance," in *Computer Vision – ACCV 2020*, Cham, H. Ishikawa, C.-L. Liu, T. Pajdla, and J. Shi, Eds., 2021// 2021: Springer International Publishing, pp. 549-565.
- [38] C. Huang, Y. Li, C. C. Loy, and X. Tang, "Learning Deep Representation for Imbalanced Classification," in *2016 IEEE Conference on Computer Vision and Pattern Recognition (CVPR)*, 27-30 June 2016 2016, pp. 5375-5384, doi: 10.1109/CVPR.2016.580.
- [39] E. P. Ijjina and C. Krishna Mohan, "Hybrid deep neural network model for human action recognition," *Applied Soft Computing*, vol. 46, pp. 936-952, 2016/09/01/ 2016, doi: <https://doi.org/10.1016/j.asoc.2015.08.025>.
- [40] M. Lyksborg, O. Puonti, M. Agn, and R. Larsen, "An Ensemble of 2D Convolutional Neural Networks for Tumor Segmentation," in *Image Analysis*, Cham, R. R. Paulsen and K. S. Pedersen, Eds., 2015// 2015: Springer International Publishing, pp. 201-211.
- [41] N. Tajbakhsh, S. R. Gurudu, and J. Liang, "Automatic polyp detection in colonoscopy videos using an ensemble of convolutional neural networks," in *2015 IEEE 12th International Symposium on Biomedical Imaging (ISBI)*, 16-19 April 2015 2015, pp. 79-83, doi: 10.1109/ISBI.2015.7163821.
- [42] J. Xie, B. Xu, and C. Zhang, "Horizontal and Vertical Ensemble with Deep Representation for Classification," *CoRR*, vol. abs/1306.2759, / 2013. [Online]. Available: <http://arxiv.org/abs/1306.2759>.
- [43] M. Chen, C. Zhang, and S.-C. Chen, "Semantic Event Extraction Using Neural Network Ensembles," 2007. [Online].